

# **Сравнительная оценка эффективности методов отбора предикторов при картографировании кислотности почв алгоритмом машинного обучения Random Forest**

к.б.н. Гопп Н.В., [natalia.gopp@gmail.com](mailto:natalia.gopp@gmail.com)  
ФГБУН Институт почвоведения и агрохимии СО РАН  
Новосибирск

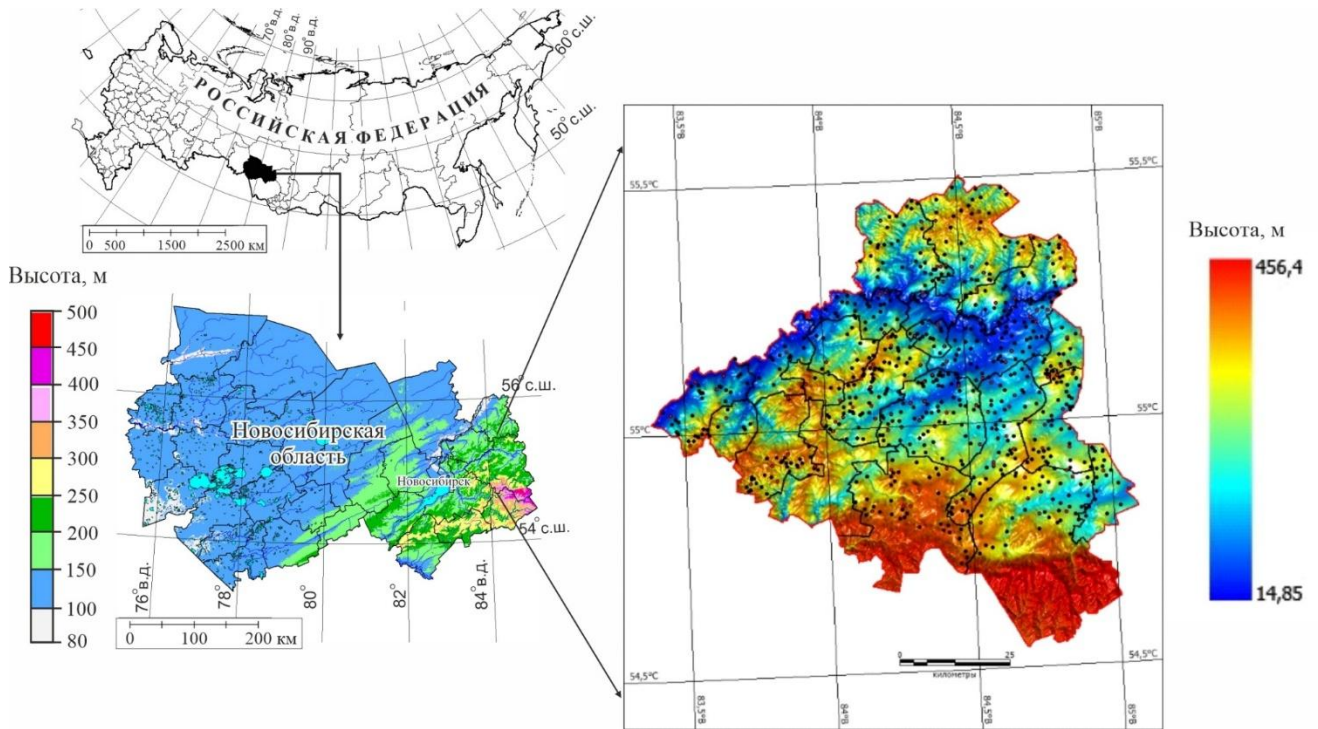
## Актуальность

Сведения о кислотности в картографическом представлении необходимы для оценки пригодности почв для возделывания сельскохозяйственных культур, а также для планирования мероприятий по проведению химической мелиорации. Значительное пространственное варьирование pH обуславливает необходимость её картографирования с использованием современных методов, реализация которых успешно осуществляется с помощью базы данных лабораторно-полевых обследований почв, данных дистанционного зондирования Земли, и алгоритмов машинного обучения.

## Цель исследования

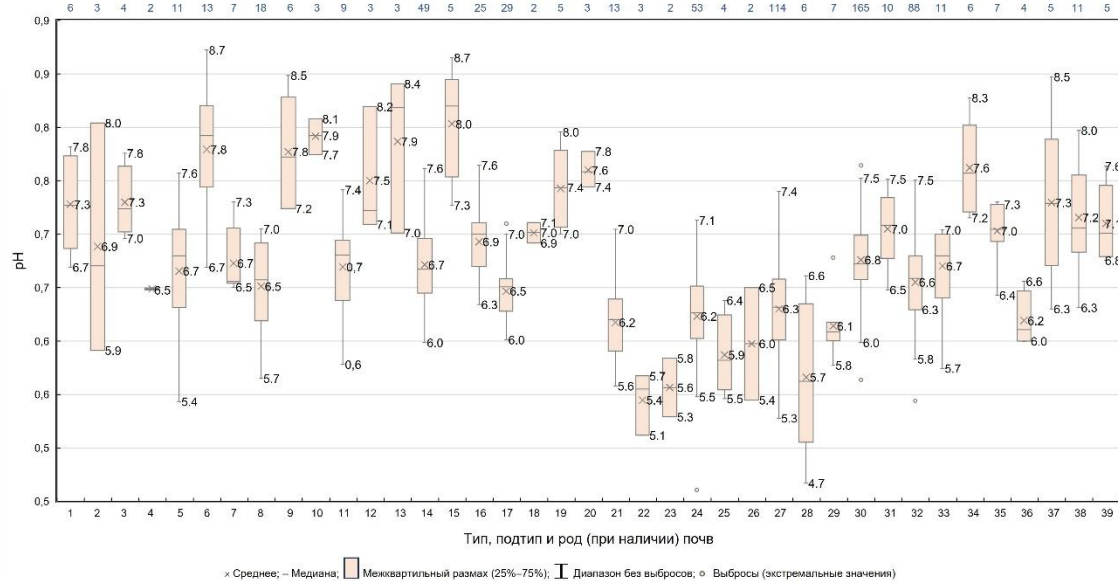
Цель исследования – сравнительная оценка эффективности методов отбора предикторов (Boruta, RFE) при картографировании кислотности почв алгоритмом машинного обучения Random Forest, реализованном на онлайн-платформе Google Earth Engine.

## **Территория исследования: Предсалайрье (в пределах Тогучинского района, Новосибирской области), площадь 3925 км<sup>2</sup>.**



Район исследования по геоморфологическому районированию относится к Кузнецко-Салаирской геоморфологической провинции Алтае-Саянской горной области.

Данные по рН водной суспензии почв собраны по материалам  
ЗапСибНИИгипрозем (1984-1994 гг.)



Варьирование pH водной суспензии в 0–30 см слое почв. Типы, подтипы и роды (при наличии) почв: 1 – аллювиальные дерновые обычные; 2 – аллювиальные луговые; 3 – аллювиальные лугово-болотные; 4 – дерново-подзолистые; 5 – луговые выщелоченные; 6 – луговые карбонатные; 7 – луговые обычные; 8 – луговые оподзоленные; 9 – луговые солончаковые; 10 – луговые солончаковые; 11 – лугово-болотные перегнойные; 12 – лугово-болотные перегнойные карбонатные; 13 – лугово-болотные перегнойные солончаковые; 14 – лугово-черноземные выщелоченные; 15 – лугово-черноземные карбонатные; 16 – лугово-черноземные обычные; 17 – лугово-черноземные оподзоленные; 18 – лугово-черноземные солонцеватые; 19 – лугово-черноземные солончаковые; 20 – лугово-черноземная солончаковая; 21 – светло-серые лесные; 22 – светло-серые лесные глеевые осолончаковые; 23 – светло-серые лесные остаточно-карбонатные; 24 – серые лесные; 25 – серые лесные глеевые; 26 – серые лесные скелетные; 27 – темно-серые лесные; 28 – темно-серые лесные глеевые; 29 – темно-серые лесные остаточно-карбонатные; 30 – черноземы выщелоченные; 31 – черноземы обыкновенные; 32 – черноземы оподзоленные; 33 – черноземно-луговые выщелоченные; 34 – черноземно-луговые карбонатные; 35 – черноземно-луговые обычные; 36 – черноземно-луговые оподзоленные; 37 – черноземно-луговые солончаковые; 38 – солонцы лугово-черноземные глубокие; 39 – солонцы черноземно-луговые глубокие. Объем выборки указан цифрами сверху над диаграммами размаха

**Описательная статистика для рН водной суспензии в 0–30 см слое почв для общего, обучающего и валидационного наборов данных**

Показатель	Набор данных		
	Общий (n=722)	Обучающий (n=612)	Валидационный (n=110)
Среднее	6.6	6.7	6.6
Стандартное отклонение	0.6	0.6	0.5
Минимум	4.6	4.7	4.6
Медиана	6.6	6.6	6.6
Максимум	8.8	8.7	7.9
Коэффициент вариации, %	8.5	8.6	7.8
Коэффициент асимметрии	0.33	0.41	-0.38
Коэффициент эксцесса	1.25	1.18	1.68

**Abstract**

This article describes a **R** package **Boruta**, implementing a novel feature selection algorithm for finding all relevant variables. The algorithm is designed as a wrapper around a Random Forest classification algorithm. It iteratively removes the features which are proved by a statistical test to be less relevant than random probes. The **Boruta** package provides a convenient interface to the algorithm. The short description of the algorithm and examples of its application are presented.

Files:  
[Paper](#) [R package \(Boruta\)](#)  
[R example code from the paper](#)

Published: Sep 16, 2010  
DOI: 10.18637/jss.v036.i11

**Gene Selection for Cancer Classification using Support Vector Machines**

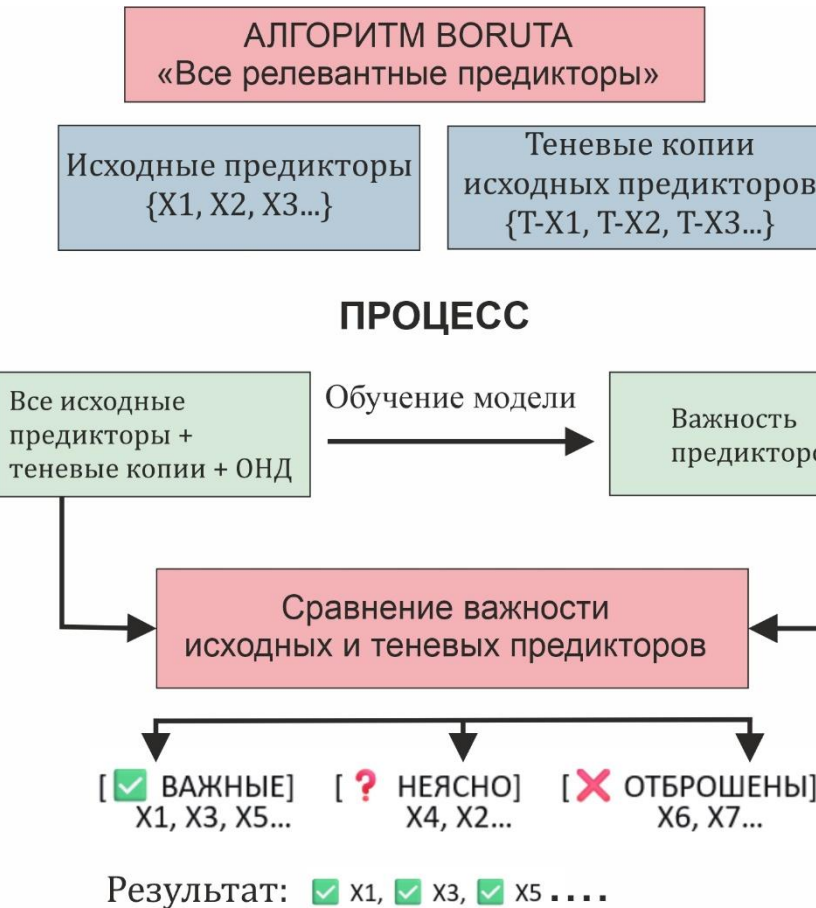
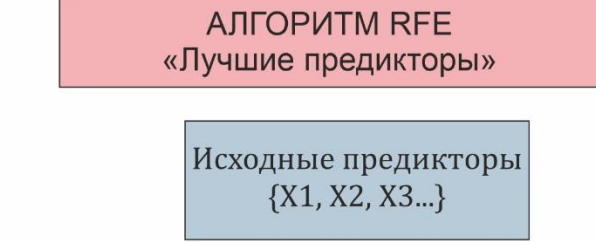
Published: January 2002  
Volume 46, pages 389–422, (2002) [Cite this article](#)

[Download PDF](#)

Isabelle Guyon, Jason Weston, Stephen Barnhill &amp; Vladimir Vapnik

60k Accesses 8216 Citations 69 Altmetric 4 Mentions [Explore all metrics](#) →

# СХЕМЫ АЛГОРИТМОВ ОТБОРА ПРЕДИКТОРОВ

**RFE (Recursive Feature Elimination)**

Авторы (2010 г.): Miron B. Kursa,  
Witold R. Rudnicki

ОНД – обучающий набор данных

Автор рисунков Гопп Н.В.

Авторы (2002 г.): Isabelle Guyon, Jason Weston, Stephen Barnhill, Vladimir Vapnik

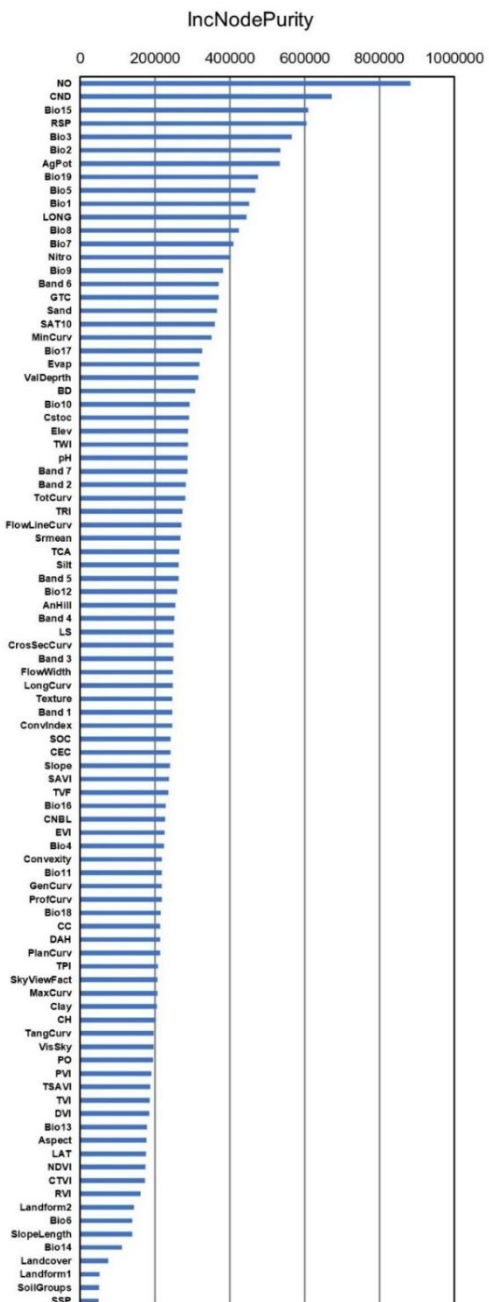
## Модель SCORPAN

$$Sc = f(s, c, o, r, p, a, n) \text{ и } Sa = f(s, c, o, r, p, a, n),$$

где  $Sc$  – почвенные таксономические единицы;  $Sa$  – количественная характеристика почвы;  $s$  – почва (другие характеристики почвы);  $c$  – климат (климатические характеристики);  $o$  – организмы, растительность, фауна, человек;  $r$  – рельеф (ЦМР и морфометрические величины);  $p$  – материнская порода, литология;  $a$  – возраст, время, повторность при мониторинге;  $n$  – пространственное положение.

Модель SCORPAN предназначена для эмпирического количественного описания взаимосвязей между почвенными свойствами и пространственно распределенными предикторами (McBratney et al., 2003).

# Ранжирование по степени важности



## Перечень предикторов, использованных в картографировании кислотности почв

**Предикторы, характеризующие климат (WorldClim и архивные карты) [18, 19]. Исходное разрешение 1 × 1 км, преобразованное – 30 × 30 м**

BIO1 – среднегодовая температура; BIO2 – среднесуточная разность (среднее значение за месяц ( $T_{max} - T_{min}$ )); BIO3 – изотермичность; BIO4 – сезонность температуры; BIO5 – максимальная температура самого теплого месяца; BIO6 – минимальная температура самого холодного месяца; BIO7 – годовой диапазон температур; BIO8 – средняя температура самого влажного квартала; BIO9 – средняя температура самого сухого квартала; BIO10 – средняя температура самого теплого квартала; BIO11 – средняя температура самого холодного квартала; BIO12 – годовое количество осадков; BIO13 – количество осадков в самый влажный месяц; BIO14 – количество осадков в самый засушливый месяц; BIO15 – сезонность осадков (коэффициент вариации); BIO16 – количество осадков в самом влажном квартале; BIO17 – количество осадков в самом сухом квартале; BIO18 – количество осадков в самом теплом квартале; BIO19 – количество осадков в самом холодном квартале; SRmean – среднее солнечное излучение (сумма средних значений (с 1970 по 2000 г.г.) по месяцам деленная на 12); SAT10 – сумма активных температур выше 10°C; CC – коэффициент континентальности климата; EVAP – испаряемость; CH – коэффициент увлажнения; AgPot – агроэкологический потенциал; HTC – гидротермический коэффициент Селянинова

**Предикторы, характеризующие рельеф (на основе FABDEM V1-2, разрешение 30 × 30 м)**

ELEV – высота над уровнем моря; Slope – крутизна склонов; LS – коэффициент соотношения длины и крутизны склона; Aspect – экспозиция склонов; CrosSecCurv – кривизна поперечного сечения; FlowLineCurv – кривизна линии потока; GenCurv – главная кривизна; LongCurv – продольная кривизна; MinCurv – минимальная кривизна; MaxCurv – максимальная кривизна; ProfCurv – профильная кривизна; PlanCurv – плановая кривизна; TanCurv – тангенциальная кривизна; TotCurv – общая кривизна; ConvIndex – индекс конвергенции; Texture – рельефная текстура поверхности; Convexity – индекс выпуклости; AnalitHill – аналитическая затененность холмов; VallDepth – глубина долин; TWI – топографический индекс влажности; TCA – общая площадь водосбора; RSP – относительное положение на склоне; TPI – топографический индекс положения; TRI – индекс расчлененности рельефа; CND – расстояние до водотоков (дренажной сети); CNBL – базовый уровень водотоков; VisSky – видимость неба; SkyViewFact – фактор видимости неба; PO – положительная открытость ландшафта; NO – отрицательная открытость (замкнутость ландшафта); SSP – специфичные точки поверхности; SlopeLength – длина склона; FlowWidth – ширина потока; TVF – коэффициент обзора местности; DAH – суточный анизотропный нагрев; Landform 1 – 6 форм рельефа; Landform 2 – 16 форм рельефа

**Предикторы, характеризующие пространственное положение (разрешение 30 × 30 м)**

LONG – географическая долгота; LAT – географическая широта

**Предикторы, характеризующие растительность (Landsat 5 TM, разрешение 30 × 30 м)**

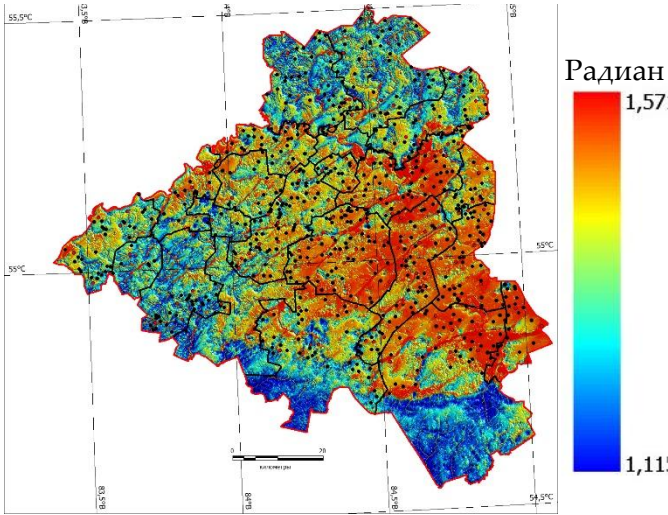
NDVI – нормализованный разностный вегетационный индекс; CTVI – скорректированный трансформированный вегетационный индекс; DVI – разностный вегетационный индекс; NRVI – нормализованный относительный вегетационный индекс; RVI – относительный вегетационный индекс; SAVI – вегетационный индекс с коррекцией по почве; TSAVI – трансформированный вегетационный индекс с коррекцией по почве; TVI – трансформированный вегетационный индекс; TTVI – трансформированный вегетационный индекс Тиама; Band 1 – видимый синий диапазон; Band 2 – видимый зеленый диапазон; Band 3 – видимый красный диапазон; Band 4 – ближний инфракрасный диапазон; Band 5 – ближний инфракрасный диапазон; Band 6 – тепловой диапазон; Band 7 – средний инфракрасный диапазон; LandCov – наземный покров

**Предикторы, характеризующие почву (SoilGrids, усредненные данные для слоя 0–30 см) [20]. Исходное разрешение 250 × 250 м, преобразованное – 30 × 30 м**

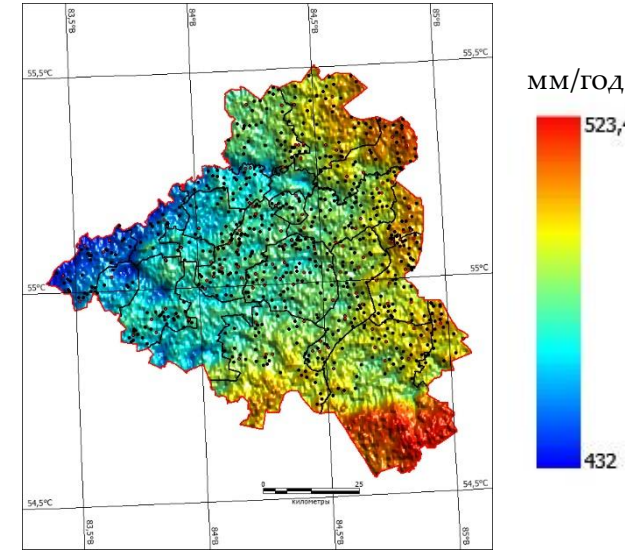
pH – кислотность; NITRO – содержание общего азота; SOC – содержание органического углерода; SOSC – запасы органического углерода; CEC – емкость катионного обмена; CLAY – содержание ила (глины); SAND – содержание песка; SILT – содержание пыли; BD – плотность сложения почв; Soil Groups – почвенные группы по WRB 2006

## РАСТРОВЫЕ КАРТЫ ПРЕДИКТОРОВ

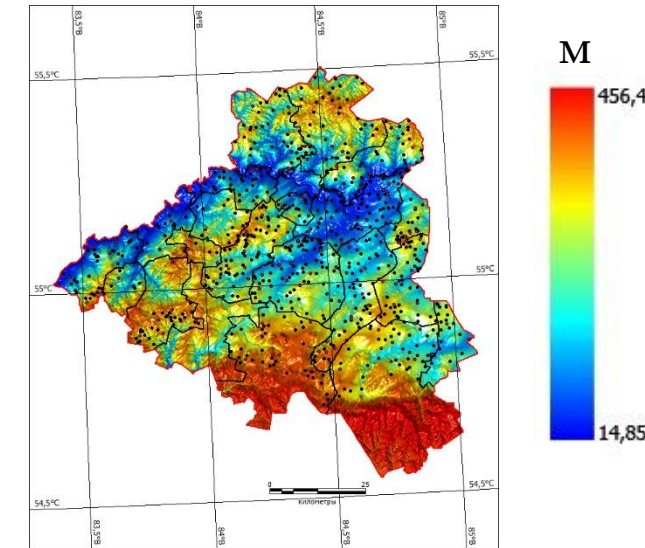
**NO – отрицательная открытость  
(замкнутость ландшафта)**



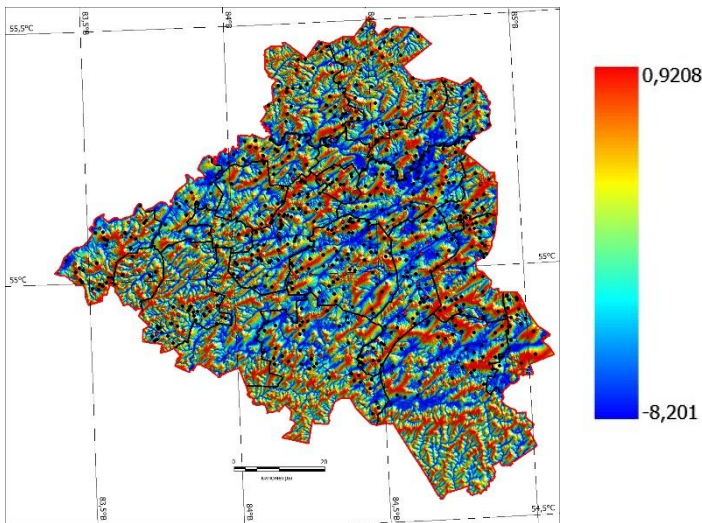
**BIO12 – годовое количество осадков (WorldClim 2.0)**



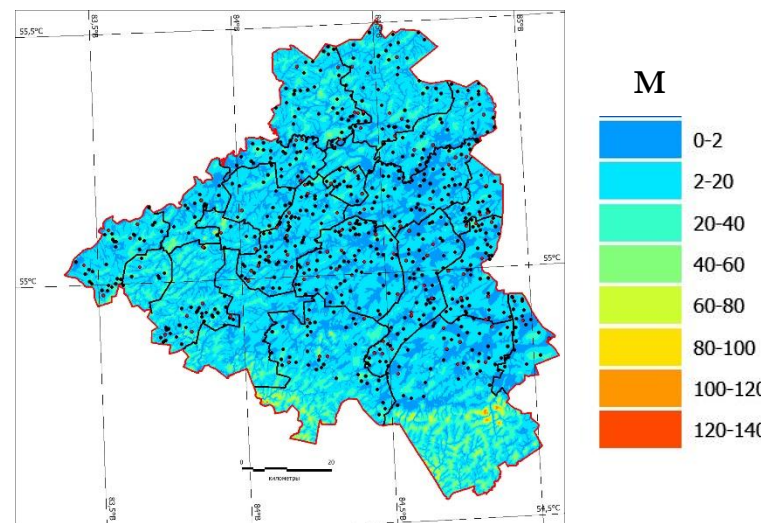
**ELEV – высота над уровнем моря (FABDEM V1-2 )**



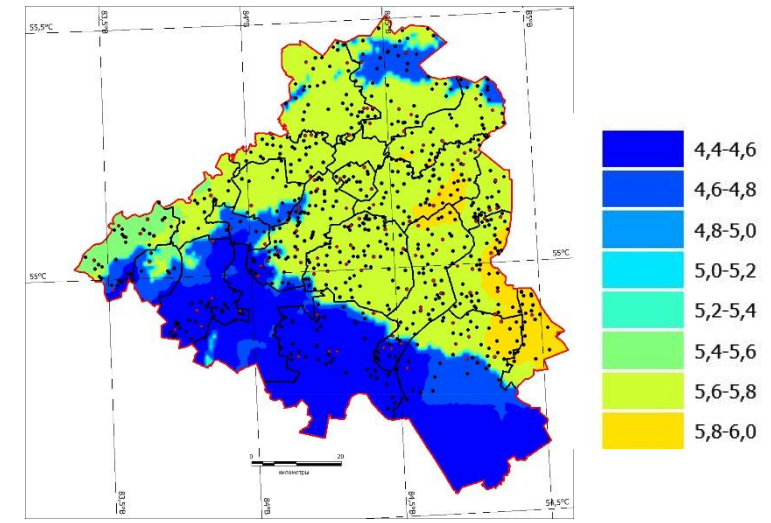
**RSP – относительное положение на склоне**



**CND – расстояние до водотоков (дренажной сети)**

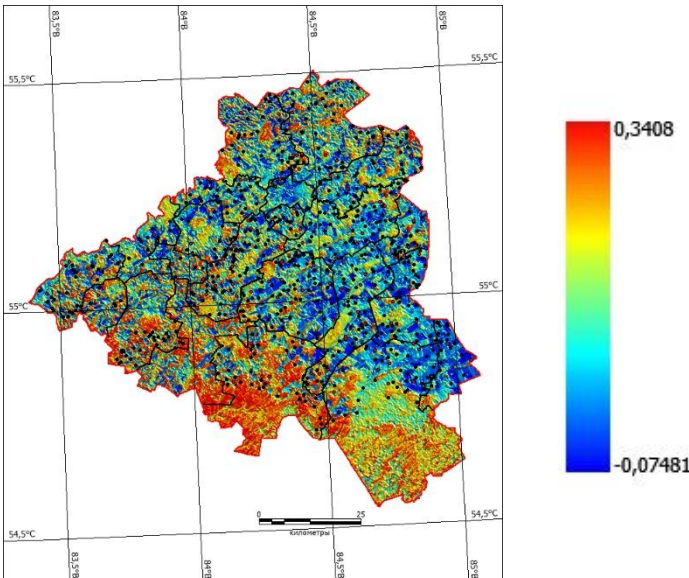


**AgPot – агроэкологический потенциал**

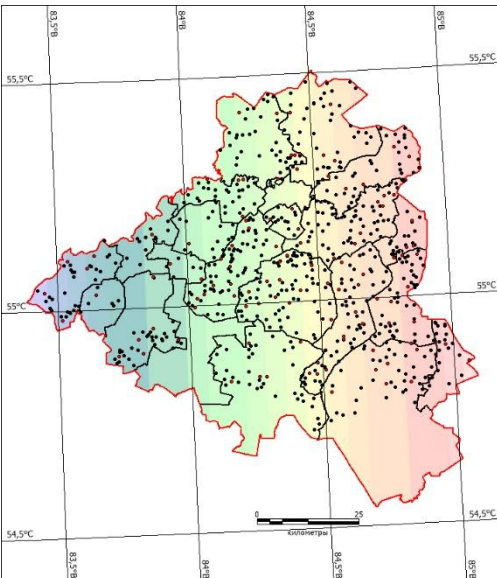


## РАСТРОВЫЕ КАРТЫ ПРЕДИКТОРОВ

**NDVI – нормализованный разностный вегетационный индекс (Landsat-5)**

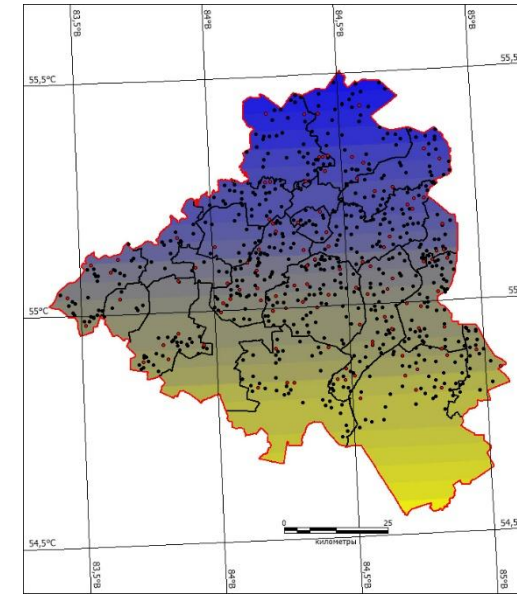


**LONG – географическая долгота**



83,24 – 83,32  
83,32 – 83,39  
83,39 – 83,47  
83,47 – 83,54  
83,54 – 83,61  
83,61 – 83,69  
83,69 – 83,76  
83,76 – 83,84  
83,84 – 83,91  
83,91 – 83,99  
83,99 – 84,06  
84,06 – 84,14  
84,14 – 84,21  
84,21 – 84,29  
84,29 – 84,36  
84,36 – 84,43  
84,43 – 84,51  
84,51 – 84,58  
84,58 – 84,66  
84,66 – 84,73  
84,73 – 84,81  
84,81 – 84,88  
84,88 – 84,96  
84,96 – 85,03  
85,03 – 85,11  
85,11 – 85,18  
85,18 – 85,26  
85,26 – 85,33  
85,33 – 85,4

**LAT – географическая широта**



54,5 – 54,54
54,54 – 54,57
54,57 – 54,61
54,61 – 54,65
54,65 – 54,69
54,69 – 54,73
54,73 – 54,77
54,77 – 54,81
54,81 – 54,84
54,84 – 54,88
54,88 – 54,92
54,92 – 54,96
54,96 – 55
55 – 55,04
55,04 – 55,07
55,07 – 55,11
55,11 – 55,15
55,15 – 55,19
55,19 – 55,23
55,23 – 55,27
55,27 – 55,31
55,31 – 55,34
55,34 – 55,38
55,38 – 55,42
55,42 – 55,46
55,46 – 55,5
55,5 – 55,54
55,54 – 55,58
55,58 – 55,61

## Random Forest (Случайный лес)

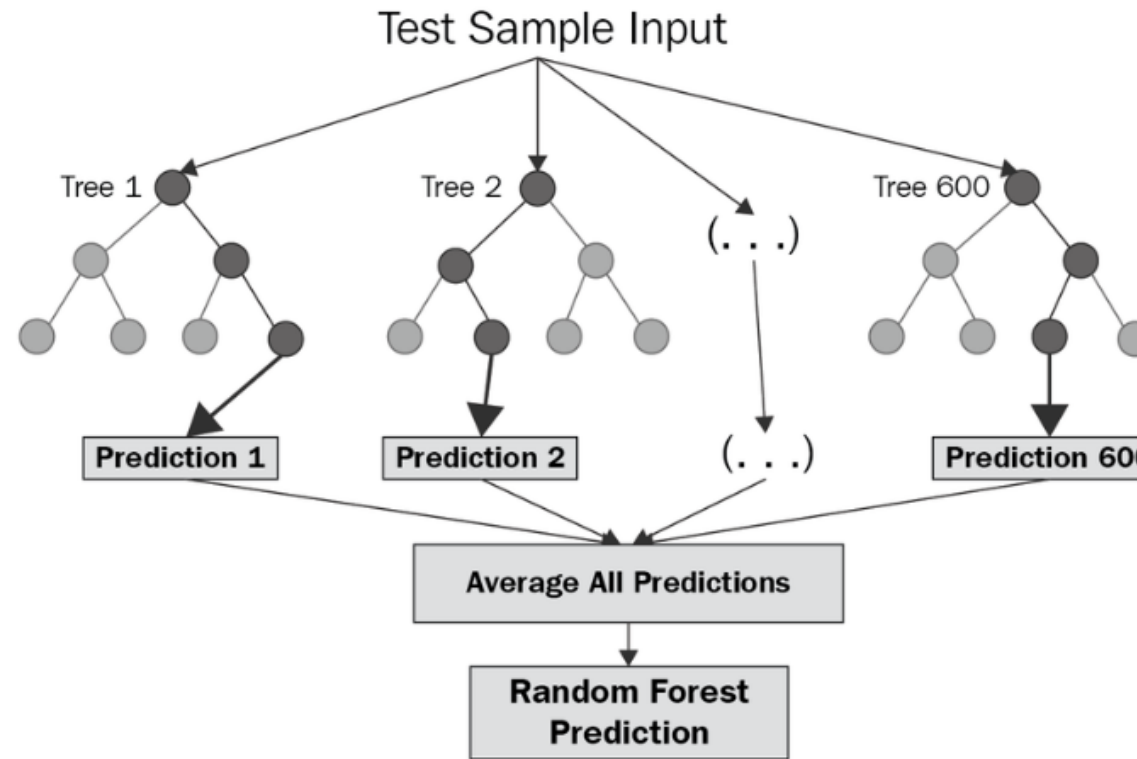
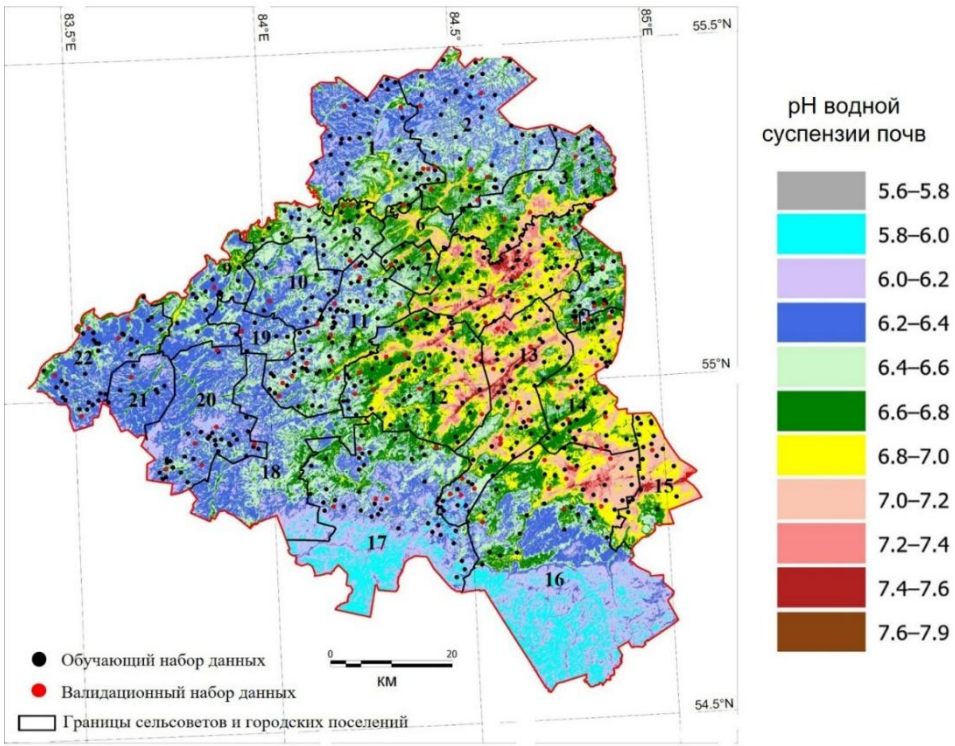
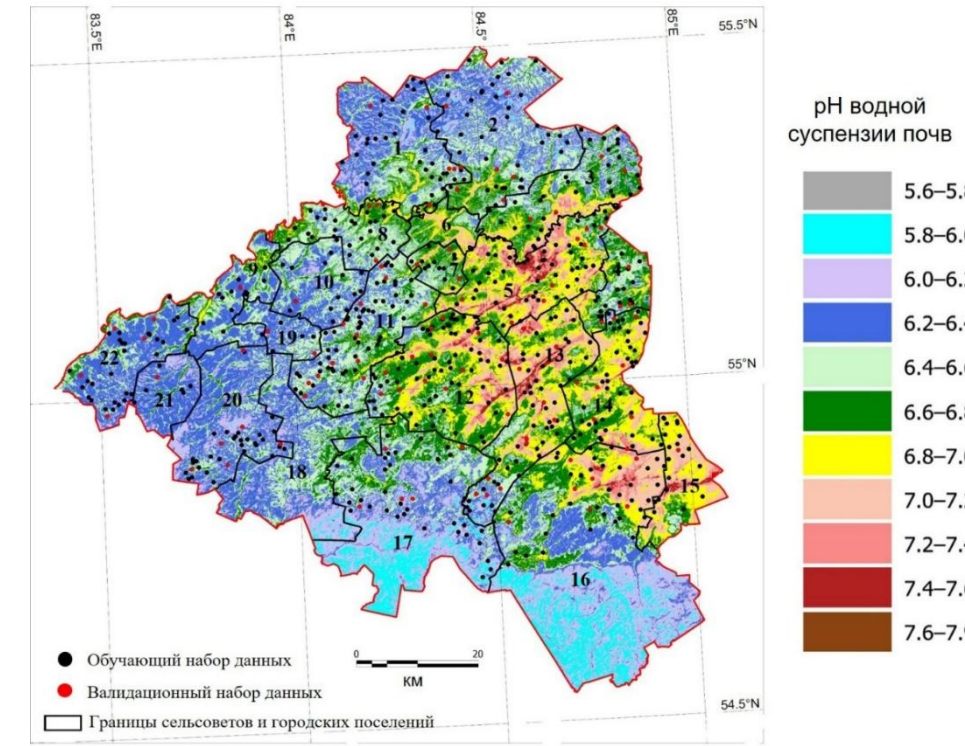


Рисунок из работы: Jain A., Fandango A., Kapoor A.: TensorFlow Machine Learning Projects: Build 13 realworld projects with advanced numerical computations using the Python ecosystem. 2018

Термин «дерево» в концепции алгоритма Random Forest означает независимый алгоритм, обучающийся на случайной подвыборке данных и подмножестве признаков. Алгоритм Random Forest позволяет создавать множество «деревьев» и дальнейшее объединение результатов работы разных независимых «деревьев» или алгоритмов даёт более точные и устойчивые предсказания для зависимой/целевой переменной. Конечный результат – это среднее значение предсказаний по всем созданным «деревьям».

Brieman L. Random Forests // Mach. Learn. 2001. V. 45. P. 5–32. <https://doi.org/10.1023/A:1010933404324>

**BORUTA****RFE**

**pH водной суспензии:**

- сильнокислая (5.0–6.0)
- слабокислая (6.0–6.5)
- нейтральная (6.5–7.5)
- слабощелочная (7.5–8.5)

**Карта pH водной суспензии в 0–30 см слое почв (по данным 1984–1994 г.г.)**

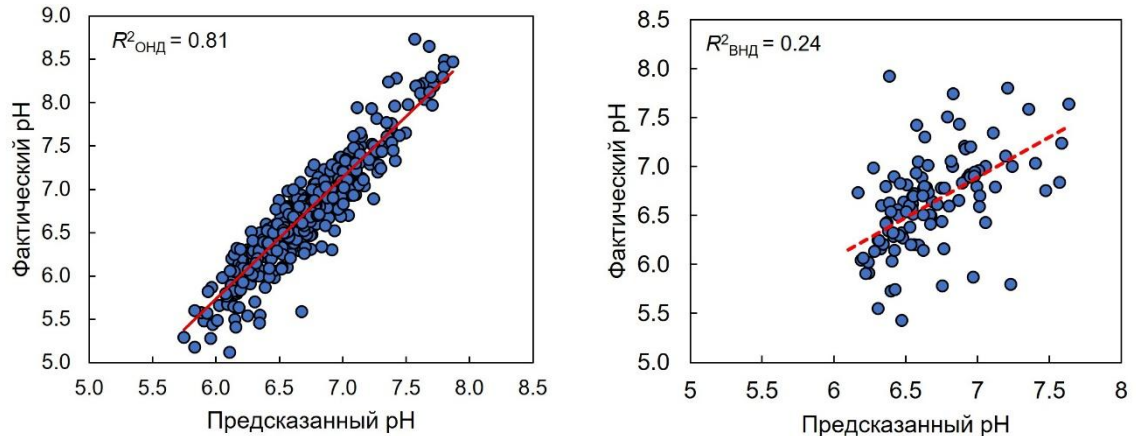
**Названия сельсоветов и городских поселений Тогучинского района Новосибирской области:**

1 – Гутовский; 2 – Сурковский; 3 – Кикинский; 4 – Шахтинский; 5 – Заречный; 6 – городское поселение Тогучин; 7 – Нечаевский; 8 – Кудринский; 9 – Буготакский; 10 – Борцовский; 11 – Кудельно-Ключевской; 12 – Вассинский; 13 – Завьяловский; 14 – Кировский; 15 – Степногутовский; 16 – Коуракский; 17 – Лебедевский; 18 – Чемской; 19 – городское поселение Горный; 20 – Усть-Каменский; 21 – Мирновский; 22 – Репьевский.

# Оценка эффективности моделирования

## Зависимость между фактическим и предсказанным рН в обучающем ( $R^2_{\text{ОНД}}$ ) и валидационном ( $R^2_{\text{ВНД}}$ ) наборах данных

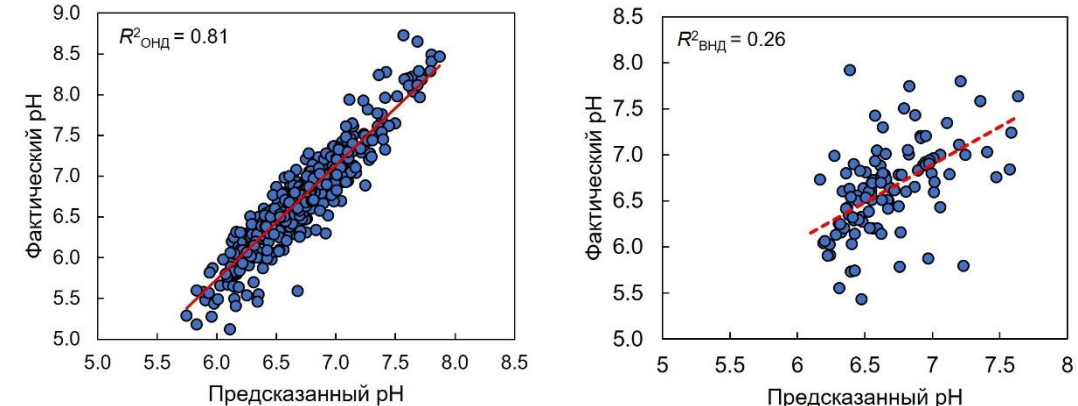
### BORUTA



$\text{RMSE}_{\text{ВНД}} = 0,46$ ;  $\text{MAPE}_{\text{ВНД}} = 5,0$ ;  $\text{MAE}_{\text{ВНД}} = 0,30$

**Предикторы:** CND – расстояние до водотоков (дренажной сети); NO – отрицательная открытость (замкнутость ландшафта); BIO15 – сезонность осадков (коэффициент вариации); AgPot – агроэкологический потенциал; BIO2 – среднесуточная разность; BIO7 – годовой диапазон температур; BIO1 – среднегодовая температура; BIO3 – изотермичность; BIO5 – максимальная температура самого теплого месяца; RSP – относительное положение на склоне.

### RFE



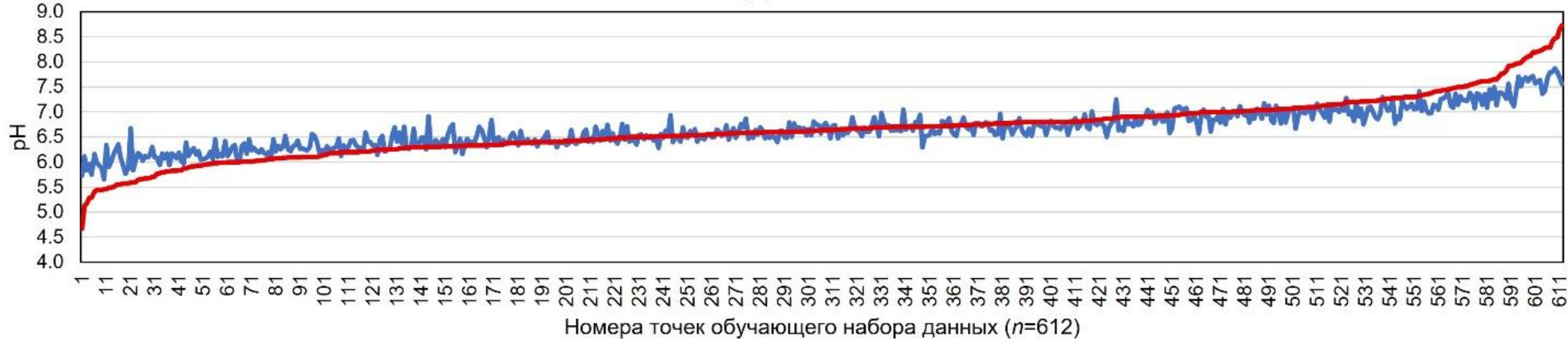
$\text{RMSE}_{\text{ВНД}} = 0,45$ ;  $\text{MAPE}_{\text{ВНД}} = 4,9$ ;  $\text{MAE}_{\text{ВНД}} = 0,29$

**Предикторы:** NO – отрицательная открытость (замкнутость ландшафта); CND – расстояние до водотоков (дренажной сети); BIO15 – сезонность осадков (коэффициент вариации); RSP – относительное положение на склоне; BIO3 – изотермичность; BIO2 – среднесуточная разность; AgPot – агроэкологический потенциал; BIO19 – количество осадков в самом холодном квартале; BIO5 – максимальная температура самого теплого месяца; BIO1 – среднегодовая температура.

В общем случае  $R^2 = 1$  означает, что модель идеально эффективна для моделирования, а  $R^2 = 0$  – модель объясняет вариацию изучаемого показателя не лучше, чем среднее значение.  $R^2_{\text{ОНД}}$  показывает, насколько качественно модель аппроксимирует фактические данные, на которых она обучалась.  $R^2_{\text{ВНД}}$  отражает реальную предсказательную способность модели для новых данных, т.е. тех данных, которые не использовали в обучающем наборе данных.

**Сравнение фактических и предсказанных значений рН в обучающем (а) и валидационном (б) наборах данных**

(а)



(б)



## ВЫВОДЫ

Методы отбора предикторов (RFE и Boruta) позволили выявить наиболее важные предикторы для картографирования pH; к числу наиболее важных относились предикторы, характеризующие рельеф и климат.

---

Сравнительный анализ показал, что у модели с предикторами, отобранными с использованием метода RFE, лучшие показатели эффективности моделирования:  $R^2_{ОНД}=0,81$ ;  $R^2_{ВНД}=0,26$ ; корень из среднеквадратической ошибки  $RMSE_{ВНД}=0,45$ ; средняя абсолютная процентная ошибка  $MAPE_{ВНД}=4,9$ ; средняя абсолютная ошибка  $MAE_{ВНД}=0,29$ .

---

Согласно составленной карте, изучаемые почвы характеризовались сильнокислой (5,0–6,0), слабокислой (6,0–6,5), нейтральной (6,5–7,5) и слабощелочной (7,5–8,5) реакцией среды. Сильнокислые и слабокислые почвы выявлены в почвах северной, западной и южной частях Тогучинского района, а почвы восточной и частично центральной части района характеризовались нейтральной и слабощелочной реакцией среды.

---



**Спасибо за внимание!**